

## II-229 円柱状、直方体状多孔体内からの拡散溶出について

金沢大学工学部 正員 ○寺島 康  
清水建設 洋田 茂

### はじめに

放射性廃棄物最終処分の安全性は、処分庫小包放射性物質が最終的に人間の生活環境に還元される程度に及ぶ評価をすることになるが、放射性廃棄物を固形化のうえ深埋地盤に処分する場合の影響評価においては、還元の第一の過程としての“溶出”が明らかにされねばならない。セメントや含水硬化樹脂による固化体からの核種の核種の溶出性やその機構、多孔性固化体における拡散係数測定法と実測例などについて述べておきたいが、今回  $^{137}\text{Cs}$  や  $^{90}\text{Sr}$  の主要な核種の拡散溶出を定量的かつ長期的に把握する目的として、円柱状および直方体状多孔体に対する溶出過程を解析し、実験により確認するとともに溶出機構を考察評価に結びつけるための考察を加えた。

### 拡散溶出(全般)の計算

コロイド状放射性核種の場合には多孔体内拡散の過程で吸着抑制による可能性があり、ビードセメント固化体中  $^{90}\text{Sr}$  の場合には濃度に比例した吸着抑制機構を確認しているので、放射性廃棄物を含めて一般的にこうした機構の考慮は必要である。またガラス体やアスファルト固化体に比べて内部拡散係数が数倍大きいセメント固化体でも、固化体表面における境界層拡散は律速過程となるので、固化体表面における放射性核種濃度は環境水中の濃度に等しい、すなはち同じく心の場合率に近い。

#### (1) 円柱状多孔体

半径  $R$ 、高さ  $H$  の円柱状多孔体内の放射性物質初期濃度を  $C_0$ 、内部拡散係数を  $D$  とする。拡散の基礎式と初期・境界条件とは多孔体中心を原点とする円柱座標系を用いて(1), (2)式のように示す。

$$\frac{\partial C}{\partial t} = \frac{1}{r} \frac{\partial}{\partial r} \left( r D \frac{\partial C}{\partial r} \right) + \frac{\partial}{\partial z} \left( D \frac{\partial C}{\partial z} \right) - k C \quad (1)$$

$$\left. \begin{array}{l} C(r, z, 0) = C_0 \\ C(R, z, t) = 0 \\ C(r, \pm H/2, t) = 0 \end{array} \right\} \quad (2)$$

ここで  $C = C_r(r, t) \cdot C_z(z, t) e^{-kt}$  と変数分離を行なうと、 $C_r$ ,  $C_z$  についての拡散式を解くと、濃度分布  $C$  は次式のようになる。

$$C = \frac{8C_0}{\pi} \sum_{m=1}^{\infty} \sum_{n=1}^{\infty} \frac{J_0(\frac{k}{R} d_m) (-1)^{m-1} \cos(\frac{2m-1}{H} \pi z)}{d_m J_1(d_m) (2m-1)} \exp\left(-\left(\frac{D}{R^2} d_m^2 + \frac{D(2m-1)^2 \pi^2}{H^2} + k\right)t\right) \quad (3)$$

さらに側面および上下面における溶出速度  $m_r = -D \frac{\partial C}{\partial r}|_{r=R}$ ,  $m_z = -D \frac{\partial C}{\partial z}|_{z=\pm H/2}$  を計算すれば、全面からの溶出速度  $N$  は(4)式のように、半径時間ゼロでの溶出量の初期量に対する比(溶出比)は(5)式のように表す。

$$N = \int_{-H/2}^{H/2} 2\pi R m_r dz + 2 \int_0^R 2\pi r m_z dr = \frac{32 M_0 D}{H^2} \sum_{m=1}^{\infty} \sum_{n=1}^{\infty} \left( \frac{1}{d_m^2} + \frac{1}{\beta_m^2} \right) \exp\left(-(d_m^2 + \beta_m^2 + k)T\right) \quad (4)$$

$$\frac{M_t}{M_0} = \frac{\int_0^t N dt}{\pi R^2 H C_0} = 32 \delta^2 \sum_{m=1}^{\infty} \sum_{n=1}^{\infty} \left( \frac{1}{d_m^2} + \frac{1}{\beta_m^2} \right) \left( \frac{1}{d_m^2 + \beta_m^2 + k} \right) \left[ 1 - \exp\left(-(d_m^2 + \beta_m^2 + k)T\right) \right] \quad (5)$$

ここで、 $J_0, J_1$ ； $\lambda$ ；1種0次、1次のBessel函数， $d_n$ ； $J_0(\lambda) = 0$  の根

$$B_m : (2m-1)\pi\gamma, \quad \gamma : R/H, \quad T : t/k = Dt/R^2, \quad k : R^2/D$$

$\eta = \lambda + E$  ( $\lambda$ ；浸透定数， $E$ ；吸着抑止に関する速度係数)，  $M_0$ ；初期量，

(2) 直方多孔体

3辺が A, B, C の直方多孔体の場合に之は、基礎式、初期・境界条件は(6), (7) 式のようになる。

$$\frac{\partial C}{\partial t} = D \left( \frac{\partial^2 C}{\partial x^2} + \frac{\partial^2 C}{\partial y^2} + \frac{\partial^2 C}{\partial z^2} \right) - \eta C \quad (6)$$

$$\left. \begin{aligned} C(\pm A/2, y, z, t) &= C(x, \pm B/2, z, t) = C(x, y, \pm C/2, t) = 0 \\ C(x, y, z, 0) &= C_0, \quad \frac{\partial C}{\partial x}|_{x=0} = \frac{\partial C}{\partial y}|_{y=0} = \frac{\partial C}{\partial z}|_{z=0} = 0 \end{aligned} \right\} \quad (7)$$

変数分離を行なうと各座標軸方向の拡散方程式の解より濃度分布は(8)式のようになり、 $\eta$ を溶出速度  $N$ 、溶出比  $M_e/M_0$  は(9), (10)式のよう計算される。

$$C = \frac{4^3 C_0}{\pi^3} \sum_{\ell=1}^{\infty} \sum_{m=1}^{\infty} \sum_{n=1}^{\infty} \frac{(-1)^{\ell+m+n-3}}{(2\ell-1)(2m-1)(2n-1)} \cos \frac{(2\ell-1)\pi}{A} x \cdot \cos \frac{(2m-1)\pi}{B} y \cdot \cos \frac{(2n-1)\pi}{C} z \cdot \exp \left\{ -\pi^2 D \left( \frac{(2\ell-1)^2}{A^2} + \frac{(2m-1)^2}{B^2} + \frac{(2n-1)^2}{C^2} \right) t - \eta t \right\} \quad (8)$$

$$N = \frac{5/2 C_0 D}{\pi^4} \sum_{\ell=1}^{\infty} \sum_{m=1}^{\infty} \sum_{n=1}^{\infty} \left\{ \frac{AB}{C(2\ell-1)^2(2m-1)^2} + \frac{BC}{A(2m-1)^2(2n-1)^2} + \frac{CA}{B(2n-1)^2(2\ell-1)^2} \right\} \cdot \exp \left\{ -\pi^2 D \left( \frac{(2\ell-1)^2}{A^2} + \frac{(2m-1)^2}{B^2} + \frac{(2n-1)^2}{C^2} \right) t - \eta t \right\} \quad (9)$$

$$\frac{M_e}{M_0} = \frac{512}{\pi^6} \sum_{\ell=1}^{\infty} \sum_{m=1}^{\infty} \sum_{n=1}^{\infty} \frac{A^2 B^2 (2m-1)^2 + B^2 C^2 (2n-1)^2 + C^2 A^2 (2\ell-1)^2}{(2\ell-1)^2 (2m-1)^2 (2n-1)^2} \left\{ B^2 C^2 (2\ell-1)^2 + C^2 A^2 (2m-1)^2 + A^2 B^2 (2n-1)^2 + A^2 B^2 C^2 \eta / \pi^2 D \right\} \cdot \left[ 1 - \exp \left\{ -\pi^2 D \left( \frac{(2\ell-1)^2}{A^2} + \frac{(2m-1)^2}{B^2} + \frac{(2n-1)^2}{C^2} \right) t - \eta t \right\} \right] \quad (10)$$

### 溶出実験

円柱状セメント固化体からの<sup>137</sup>Cs の溶出について実験を行なった。

#### (1) 実験方法

<sup>137</sup>Cs の適量を蒸道水に希釈したものを練り混ぜて、水・セメント比 30% の配合で練り混ぜ、内径 3.5 cm、内高さ 5.3 cm の円筒試料容器に充填した。3 日後に脱型し、23 h 1 日後 CDTI にてレシオゲル中の 300 ml の蒸道水に試料を浸漬して、以後 1 日毎に蒸道水を更新して放射性核種の溶出量を測定。算出した。2 ヶ月の試料の重量は 107.9 g, 107.5 g, 練り混ぜ水の量は 24.90 ml, 24.81 ml 放射性核種含有量は  $1.617 \times 10^7$ ,  $1.611 \times 10^7$  cpm である、練り混ぜ水 <sup>137</sup>Cs 濃度は 649350 cpm/ml である。<sup>137</sup>Cs の測定はフェリタイフシンケーランカラーティー F-3。

#### (2) 実験結果と解釈

溶出比の時間変化を図-1 に示す。<sup>137</sup>Cs は<sup>106</sup>Ru, <sup>103</sup>Co などと異なり、セメント水和物との物理化学的結合性が弱いため、セメントペースト界面を拡散によらず、運動して外部に溶出するが、10 日後の溶出率は約 30% である。溶出の速度は比較的大きい。ところでこの実験では吸着抑制は生じず、放射性濃

度も無視できるので、 $\gamma = 0$  としてよい。さすがに  $\gamma = R/H = 1/3$  として  $M = 70$ ,  $m = 100$  とすると(5)式を計算すると、図-2 中の  $\gamma = 0$  の場合の曲線を得られる。実験結果から時間  $t$  に対して  $M_t/M_0$  が求まるとき、図-2 により  $\gamma$  と相当する  $T = Dt/R^2$  が求まるので、拡散係数は  $D = TR^2/t$  として算出できる。また、 $t = 0.5 \sim 9$  日における拡散係数の道は、2式計算によっての平均道は  $3.89 \times 10^{-8} \text{ cm}^2/\text{s} \sim 1.49 \times 10^{-8} \text{ cm}^2/\text{s}$ 、この期間中の平均道は  $2.57 \times 10^{-8} \text{ cm}^2/\text{s}$  である。また、オルソ側面溶出実験によると水・セメント比 35% の場合の  $D$  の道は、約 100 日間の平均道  $2.7 \times 10^{-8} \text{ cm}^2/\text{s}$  であるが、このより本実験(全面溶出)を得た  $D$  を参考道として、 $D = 2.6 \times 10^{-8} \text{ cm}^2/\text{s}$  を用い、任意の時間  $t$  に対して無次元時間  $T$  を算出し、図-2 に  $\gamma$  と  $M_t/M_0$  との関係を用いて理論上の溶出比曲線を得る。図-1 中に実線で示す。実験の後半において実測値は理論値と誤差下限を示すが、水温低下による拡散係数の減少が影響しているものと考えられる。こうした考慮のもとに、全体的には解説の妥当性を認めてよいかある。

### 溶出の長期的様相について

溶出率や溶出速度の長期的な変化を把握していくことは、既存の膨脹鉱物を追跡するのに役立つ。円柱状化粧の安全設計を行なう上にも役立つ。ここでは主として円柱状(ドライカシ状)セメント固化体に対する  $^{137}\text{Cs}$ ,  $^{90}\text{Sr}$  の溶出率、溶出速度、最終溶出率などを述べて候。

#### (1) 溶出比、最終溶出比

円柱状固化体の場合、 $\gamma = R/H = 1/3$ ,  $^{137}\text{Cs}$  の場合で  $\lambda = \lambda = 0.0231(\text{年})$ ,  $^{90}\text{Sr}$  の場合で  $\lambda = \lambda + \varepsilon = 0.0231 + 12.629 = 12.63(\text{年})$  (E は側面溶出の場合の実測値) とし、(5)式を用いて  $k = R^2/D$  をパラメータとして(5)式を計算した。また、(5)式を立方状固化体とすると、 $T = (Dt/R^2)^{1/3}$  とし、 $\gamma = 0$  の場合で  $T = t/k = Dt/h^2$  とすれば、 $M_t/M_0$  を計算した。 $^{137}\text{Cs}$  の場合の結果の一例を図-2 に示す。セメント固化体については、水・セメント比 35% の範囲内から水道浄水槽、海水槽溶漬の場合の拡散係数の実測値が示すように  $2.7 \times 10^{-8} \sim 6.9 \times 10^{-8} \text{ cm}^2/\text{s}$ ,  $2.4 \times 10^{-8} \sim 5.5 \times 10^{-8} \text{ cm}^2/\text{s}$ 、重量当量濃度 0.5M の  $\text{Fe}(\text{NO}_3)_3$ 、セメント水和率 W/C = 40% の水・セメント比では  $1.7 \times 10^{-8} \sim 3.0 \times 10^{-8} \text{ cm}^2/\text{s}$ , 4M  $\text{Ca}(\text{NO}_3)_2$  を含む W/C = 75% の固化体では  $3.6 \times 10^{-7} \text{ cm}^2/\text{s}$  を得られる。この範囲内ではセメント固化体に対する  $D$  は  $10^{-8} \sim 5 \times 10^{-7} \text{ cm}^2/\text{s}$  となる。また、 $D = 5 \times 10^{-8} \text{ cm}^2/\text{s}$  を代表値として図-2 に示す  $\gamma = R^2 T / D = 0.6 \sim 60(\text{年})$  の範囲の変化を示してある。

最終的溶出比  $M_t/M_0$  について述べると、セメント固化体 ( $R = 30\text{cm}$ ) の  $^{137}\text{Cs}$  の  $M_t/M_0$  は  $\log R^2 / D$

図-1. 円柱状セメント固化体からの  $^{137}\text{Cs}$  の溶出(全面)

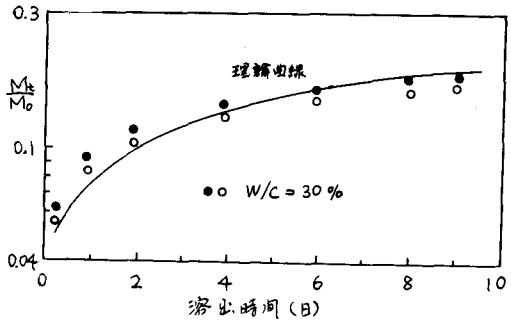
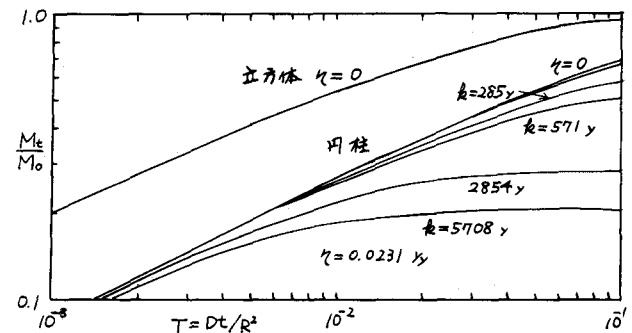


図-2.  $\text{Cs}$  の溶出比



で示される。また、 $\gamma = R^2 T / D$  の範囲の変化を示してある。

の増加とともに直線的増加し、 $D=5 \times 10^{-7} \text{ cm}^2/\text{s}$  の場合  $N/M_0 = 0.89$ 、 $10^{-8} \text{ cm}^2/\text{s}$  の場合  $N/M_0 = 0.28$  である。 $^{90}\text{Sr}$  の場合も同様の関係が得られ、 $D=5 \times 10^{-7}$ 、 $10^{-8} \text{ cm}^2/\text{s}$  の場合  $N/M_0$  は  $\gamma + \gamma' = 0.09$ 、 $0.01$  となる。

円柱状固化体、立方体状固化体からの溶出率は  $\gamma = 0$ 、面固化体では  $\gamma = 0.5$  の条件のもとで比較すると、 $\delta = R/H = 1/3$ 、 $R = 30 \text{ cm}$  の場合  $h = 63 \text{ cm}$  の場合、 $D = 5 \times 10^{-8} \text{ cm}^2/\text{s}$  の場合  $t = 0.5 \gamma$  の場合と面固化体からの溶出比は  $0.08$ 、 $0.09$ 、 $t = 10 \text{ yr}$  の場合は  $0.35$ 、 $0.37$  であつて、立方体状固化体からの溶出がやや大きい。

## (2) 溶出速度

円柱状固化体からの単位時間当たりの溶出量  $N$  の初期含有量に対する割合  $d(M_t/M_0)/dt = N/M_0$  は  $^{137}\text{Cs}$ 、 $^{90}\text{Sr}$  の場合とも表記簡単化する。また図-3、4 に示す。

$^{137}\text{Cs}$  の  $N/M_0$  は、初期においては  $T = D/R^2 \cdot t$  の関係に逆比例する。この近似的取扱いをすれば、 $R = 30 \text{ cm}$ 、 $D = 5 \times 10^{-8} \text{ cm}^2/\text{s}$  の場合  $N/M_0$  は  $10 \text{ yr}$  間にわたって下記のようである。パラメータ  $k = R^2/D$  の増大とともに、 $N/M_0$  の減少の割合は大きくなるが、この場合にも中和放熱係数  $\gamma + \gamma'$  も完全無視の近似となる。

$^{90}\text{Sr}$  の場合には、初期において  $N/M_0$  は  $^{137}\text{Cs}$  の場合と同様にして当然であるが、急速に減少し、初期値の割合は長い時間で逆比例する。たゞ  $R = 30 \text{ cm}$ 、 $D = 5 \times 10^{-8} \text{ cm}^2/\text{s}$  ( $k = 571 \text{ yr}$ ) の場合において、 $t = 0.5 \gamma$

図-4  $\text{Sr}$  の溶出速度

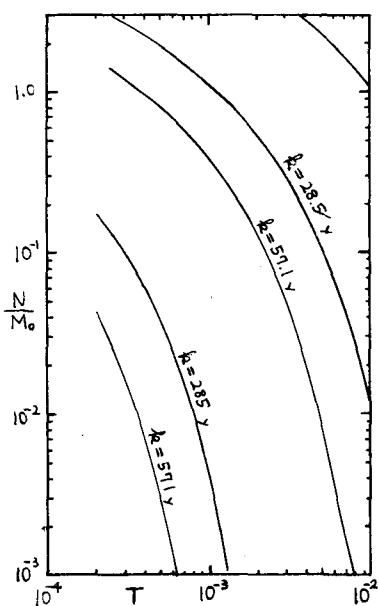
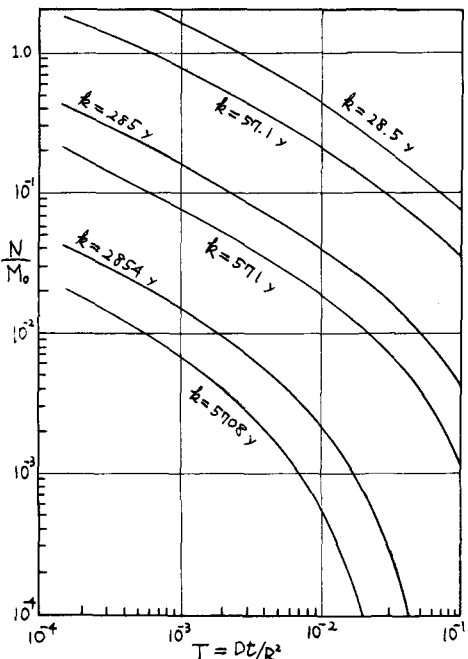


図-3.  $\text{Cs}$  の溶出速度



における  $^{90}\text{Sr}$  の  $N/M_0$  は  $^{137}\text{Cs}$  の場合の約  $1/650$  である。

$^{90}\text{Sr}$  の場合  $N/M_0$  を  $T$  の中和放熱係数  $\gamma + \gamma'$  と  $R$  の関係が得られるが、完全無視して近似することは不可能である。

溶出速度の階層近似化は、理達化され、輸送の初期状況条件を取扱うのが易く有りといふ観点で重宝されるが、完全無視してどのよき形へ近似化するかは、理達での輸送の機構化の問題の多くと密接な関係にある。